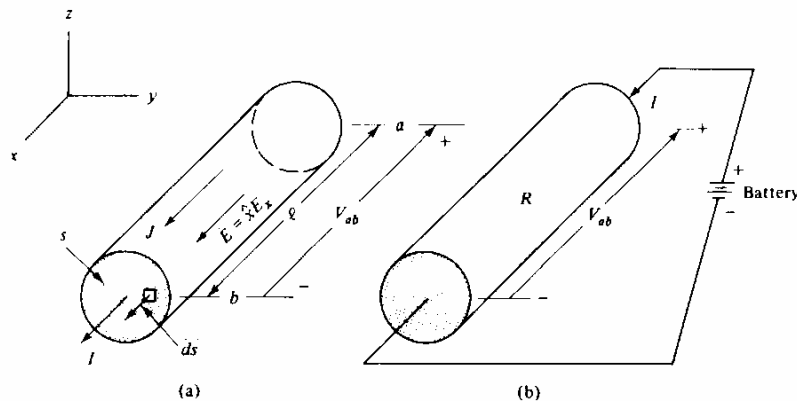


Odredimo električni otpor vodica duljine l , jednakog poprečnog presjeka S , načinjenog od materijala provodnosti κ . Neka je električno polje u vodiču homogeno duž vodica i po njegovom presjeku i usmjereno u x smjeru: $\mathbf{E} = \kappa \mathbf{E}_x$, prema slici a:



$$I = \int_S \mathbf{J} \cdot \mathbf{n} \cdot dS = \int_S \kappa \mathbf{E} \cdot \mathbf{n} \cdot dS = \int_S \kappa \cdot \mathbf{a}_x E_x \cdot \mathbf{a}_x \cdot dS = \kappa E_x \cdot S$$

jer je normala na površinu presjeka vodica $\mathbf{n} = \mathbf{a}_x$.

$$U_{ab} = \varphi(a) - \varphi(b) = - \int_b^a \mathbf{E} \cdot d\mathbf{l} = - \int_b^a \mathbf{a}_x E_x \cdot \mathbf{a}_x dx = E_x \cdot \int_a^b dx = E_x \cdot l$$

Odatve je jakost električnog polja:

$$E_x = \frac{U_{ab}}{l}$$

$$I = \kappa E_x \cdot S = \kappa \frac{U_{ab}}{l} S$$

$$R = \frac{U_{ab}}{I} = \frac{1}{\kappa} \frac{l}{S}$$

$$U_{ab} = I \cdot R$$

vodic u zatvorenom električnom krugu kako je prikazano na slici 15.1.b) Sa slike vidimo da je viši potencijal kraja a vodica i da električna struja kroz vodic teče od točke višeg prema točki nižeg potencijala.

$$R = \frac{U_{ab}}{I} = \frac{- \int_b^a \mathbf{E} \cdot d\mathbf{l}}{\int_S \mathbf{J} \cdot \mathbf{n} \cdot dS} = \frac{- \int_b^a \mathbf{E} \cdot d\mathbf{l}}{\int_S \kappa \mathbf{E} \cdot \mathbf{n} \cdot dS}$$

Ponašanje vodica u statičkim uvjetima

Postojanje električnog naboja unutar vodica uzrokovat će električno polje u vodiču, a naboj i njegovo gibanje u vodiču (električna struja) moraju zadovoljavati jednadžbu kontinuiteta.

$$\text{div } \mathbf{J} = \nabla \cdot \mathbf{J} = - \frac{\partial \rho}{\partial t}$$

Ako je vodic linearan, homogen i izotropan, uvrštenjem Ohmovog zakona u jednadžbu kontinuiteta dobije se

$$\mathbf{J} = \kappa \cdot \mathbf{E} \quad \nabla \cdot \mathbf{E} = - \frac{1}{\kappa} \frac{\partial \rho}{\partial t} \quad \text{div } \mathbf{D} = \nabla \cdot \mathbf{D} = \rho_s \quad \Rightarrow \quad \nabla \cdot \mathbf{E} = \frac{\rho}{\epsilon}$$

$$\frac{\rho}{\varepsilon} = -\frac{1}{\kappa} \frac{\partial \rho}{\partial t} \Rightarrow \frac{\partial \rho}{\partial t} + \frac{\kappa}{\varepsilon} \rho = 0 \quad \rho(t) = \rho_0 \cdot e^{-\left(\frac{\kappa}{\varepsilon}\right)t} = \rho_0 \cdot e^{-\frac{t}{\tau_r}}$$

gdje je τ_r vremenska konstanta relaksacije naboja

$$\tau_r = \frac{\varepsilon}{\kappa} \quad (\text{s})$$

Analogija statickog strujnog polja i statickog električnog polja

jednadžba kontinuiteta mora glasiti

$$\text{div } \mathbf{J} = \nabla \cdot \mathbf{J} = -\frac{\partial \rho}{\partial t} = 0$$

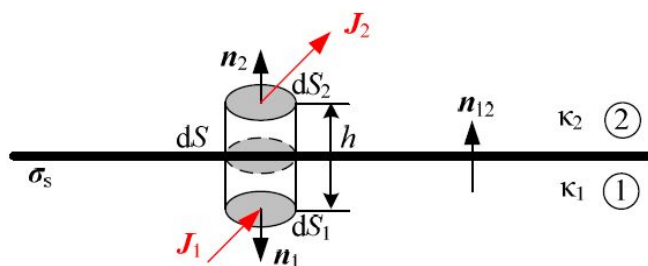
Tablica 15.1. Analogije jednadžbi statičkog električnog polja i statičkog strujnog polja

Homogeni dielektrik bez naboja: $\rho_s = 0$	Vodljivi materijal (stacionarno strujanje): $\hat{\partial} \rho_s / \hat{\partial} t = 0$
Gaussov zakon: $\nabla \cdot \mathbf{D} = 0$	Jednadžba kontinuiteta: $\nabla \cdot \mathbf{J} = 0$
$\mathbf{D} = \varepsilon \cdot \mathbf{E}$	$\mathbf{J} = \kappa \cdot \mathbf{E}$
$\mathbf{E} = -\nabla \cdot \varphi$	$\mathbf{E} = -\nabla \cdot \varphi$
Laplaceova jednadžba: $\Delta \varphi = 0$	Laplaceova jednadžba: $\Delta \varphi = 0$
Električni tok (vektora \mathbf{D}): $\phi_e = \int_S \mathbf{D} \cdot \mathbf{n} \cdot dS$	Strujni tok (vektora \mathbf{J}): $I = \int_S \mathbf{J} \cdot \mathbf{n} \cdot dS$
Kapacitet: $C = \frac{Q}{U_{ab}} = \frac{\int_S \mathbf{D} \cdot \mathbf{n} \cdot dS}{-\int_a^b \mathbf{E} \cdot d\mathbf{l}}$	Vodljivost: $G = \frac{I}{U_{ab}} = \frac{\int_S \mathbf{J} \cdot \mathbf{n} \cdot dS}{-\int_a^b \mathbf{E} \cdot d\mathbf{l}}$

Tablica 15.2. Analogne veličine statičkog električnog polja i statičkog strujnog polja

Homogeni dielektrik bez naboja: $\rho_s = 0$	Vodljivi materijal (stacionarno strujanje): $\hat{\partial} \rho_s / \hat{\partial} t = 0$
\mathbf{D}	\mathbf{J}
\mathbf{E}	\mathbf{E}
ε	κ
φ	φ
Φ_e	I
C	G

Određivanje vektora gustoće struje \mathbf{J} na granici



$$n_{12} = -n_1 = n_2, \text{ te } dS = dS_1 = dS_2$$

$$n_{12}(J_2 - J_1) = -\frac{d\sigma_s}{dt}$$

Normalna komponenta vektora gustoće struje \mathbf{J} mijenja se na granici za iznos vremenske promjene gustoće plošnog slobodnog naboja na granici. Ako na granici nema slobodnog naboja $\sigma_s = 0$ ili se on ne mijenja u vremenu $d\sigma_s/dt = 0$, onda su normalne komponente vektora gustoće struje \mathbf{J} s obje strane granice jednake

$$n_{12}(J_2 - J_1) = 0 \Rightarrow J_{1n} = J_{2n}$$

$$J_{1n} = J_{2n} \Rightarrow \kappa_1 E_{1n} = \kappa_2 E_{2n} \Rightarrow \frac{E_{1n}}{E_{2n}} = \frac{\kappa_2}{\kappa_1}$$

Za promjenu jakosti električnog polja vrijede isti uvjeti kao za statičko električno polje

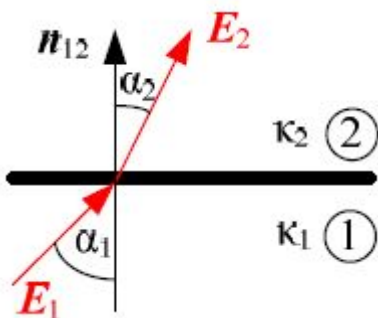
$$E_{1t} = E_{2t} \Rightarrow n_{12} \times (E_2 - E_1) = 0$$

$$E_{1t} = E_{2t} \Rightarrow \frac{J_{1t}}{\kappa_1} = \frac{J_{2t}}{\kappa_2} \Rightarrow \frac{J_{1t}}{J_{2t}} = \frac{\kappa_1}{\kappa_2}$$

Na granici dva vodica različitih provodnosti u slučaju statičkog strujanja

$$n_{12}(J_2 - J_1) = -\frac{\partial \sigma_s}{\partial t} = 0 \quad ; \quad n_{12} \times (E_2 - E_1) = 0$$

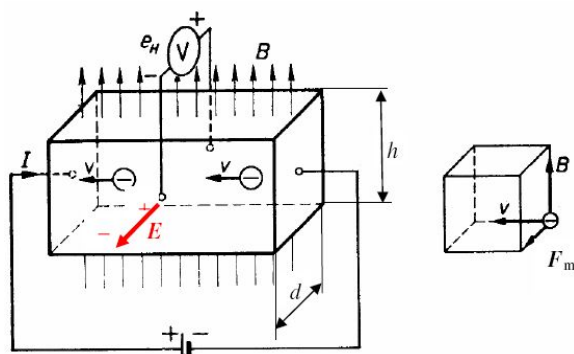
zakon loma strujnice na granici



$$\operatorname{tg} \alpha_1 = \frac{E_{1t}}{E_{1n}} \quad ; \quad \operatorname{tg} \alpha_2 = \frac{E_{2t}}{E_{2n}}$$

$$\frac{\operatorname{tg} \alpha_1}{\operatorname{tg} \alpha_2} = \frac{\frac{E_{1t}}{E_{1n}}}{\frac{E_{2t}}{E_{2n}}} = \frac{E_{1t} \cdot E_{2n}}{E_{2t} \cdot E_{1n}} = \frac{\kappa_1}{\kappa_2}$$

Hallovo ucinak



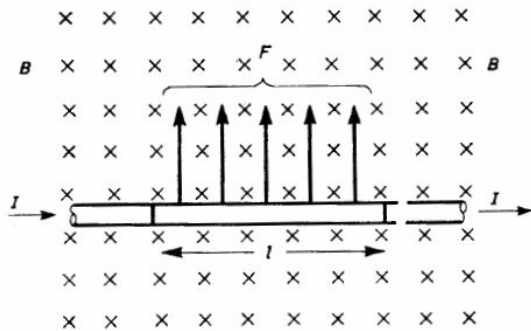
Razdvojeni naboji stvaraju električno polje i razliku potencijala (*Hallovo napon* U_H) između prednje i stražnje površine vodica. Uz pretpostavku da je to električno polje homogeno njegova je jakost $E = U_H/d$

Električno polje koje stvaraju razdvojeni naboji djeluje na slobodne elektrone električnom silom \mathbf{F}_e koja je $\mathbf{F}_e = q \cdot \mathbf{E}$ i suprotno je usmjerena od magnetske sile \mathbf{F}_m

Otklanjanje slobodnih elektrona u vodicu trajat će sve dotle dok količina razdvojenih naboja ne stvori toliku jakost električnog polja i time električnu silu koja će uravnotežiti magnetsku

silu $F_e = F_m$; $qvB = q^* U_H/d$ iz cega slijedi da je Hallov napon $U_H = vdB$

MAGNETSKA SILA NA VODIC PROTJEKAN STRUJOM



$$f = q(v \times B) \quad F = N \cdot f = n \cdot l \cdot S \cdot q(v \times B)$$

$$dQ = N \cdot q = n \cdot l \cdot S \cdot q = n \cdot v \cdot dt \cdot S \cdot q$$

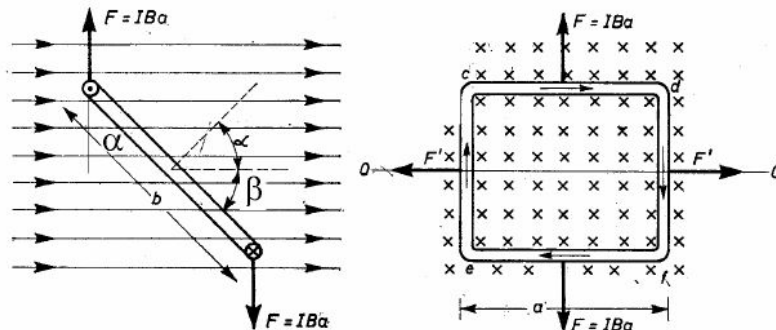
$$I = \frac{dQ}{dt} = n \cdot v \cdot S \cdot q$$

$$F = I(l \times B)$$

Ako magnetsko polje nije homogeno ili ako vodici nije ravni, onda prvo izracunamo diferencijalnu silu dF na diferencijalno mali dio vodica dl za kojeg možemo smatrati da se nalazi u magnetskom polju iste indukcije a ukupnu silu na vodici dobijemo integracijom diferencijalne sile uzduž vodica

$$dF = I(dl \times B) \quad F = \int_l dF = \int_l I(dl \times B)$$

Magnetska sila i zakretni moment na strujnu petlju



Stranice petlje cd i ef okomite su na magnetsko polje pa na njih djeluju sile jednakoga iznosa, koje su zbog suprotnih smjerova struje suprotno usmjerene:

$$F = I \cdot B \cdot a$$

Stranice ce i df s vektorom magnetske indukcije zatvaraju kut β . Sile na njih ce također biti jednakoga iznosa, suprotno usmjerene:

$$F' = I \cdot B \cdot b \cdot \sin \beta$$

Zbroj svih sila jednak je nuli, jer se sile u parovima poništavaju. Međutim, na stranice cd i ef djeluje par sila F zakretnim momentom na kraku duljine $b \cdot \sin \alpha$:

$$M = F \cdot b \cdot \sin \alpha = I \cdot B \cdot a \cdot b \cdot \sin \alpha = I \cdot B \cdot S \cdot \sin \alpha$$

Zakretni moment djeluje tako da nastoji postaviti ravninu petlje okomito na smjer magnetskog polja ($\alpha = 0$). U tom položaju zakretni moment je $M = 0$ a kroz strujnu petlju prolazi maksimalni tok magnetskog polja. Najveci zakretni moment nastaje kad je ravnina petlje u smjeru magnetskog polja ($\alpha = 90^\circ$)

Gaussov zakon

U pravocrtnom koordinatnom sustavu (x, y, z) divergencija vektora \mathbf{B} je:

$$\operatorname{div} \mathbf{B} = \nabla \cdot \mathbf{B} = \frac{\partial B_x}{\partial x} + \frac{\partial B_y}{\partial y} + \frac{\partial B_z}{\partial z} = 0$$

U cilindričnom koordinatnom sustavu (r, α, z) divergencija vektora \mathbf{B} je:

$$\operatorname{div} \mathbf{B} = \nabla \cdot \mathbf{B} = \frac{1}{r} \left[\frac{\partial}{\partial r} (r \cdot B_r) \right] + \frac{1}{r} \frac{\partial B_\alpha}{\partial \alpha} + \frac{\partial B_z}{\partial z} = 0$$

U sfernom koordinatnom sustavu (r, ϑ, α) divergencija vektora \mathbf{B} je:

$$\operatorname{div} \mathbf{B} = \nabla \cdot \mathbf{B} = \frac{1}{r^2} \left[\frac{\partial}{\partial r} (r^2 \cdot B_r) \right] + \frac{1}{r \cdot \sin \vartheta} \left[\frac{\partial}{\partial \vartheta} (B_\vartheta \cdot \sin \vartheta) \right] + \frac{1}{r \cdot \sin \vartheta} \frac{\partial B_\alpha}{\partial \alpha} = 0$$

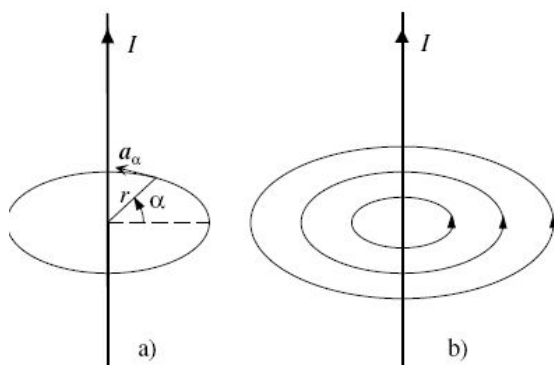
BIOT-SAVARTOV ZAKON

$$d\mathbf{B} = \frac{\mu_0 I}{4\pi} \frac{d\mathbf{l} \times \mathbf{R}}{R^3} \quad \mu_0 = 4\pi \cdot 10^{-7} \quad \text{Vs/Am} = \text{H/m}$$

$$\mathbf{B} = \int_l d\mathbf{B} = \int_l \frac{\mu_0 I}{4\pi} \frac{d\mathbf{l} \times \mathbf{R}}{R^3} = \frac{\mu_0}{4\pi} \int_l I \frac{d\mathbf{l} \times \mathbf{R}}{R^3}$$

$$\mathbf{B} = \frac{\mu_0}{4\pi} \int_v \frac{\mathbf{J} \times \mathbf{R}}{R^3} dV \quad \mathbf{B} = \frac{\mu_0}{4\pi} \int_s \frac{\mathbf{K} \times \mathbf{R}}{R^3} dS$$

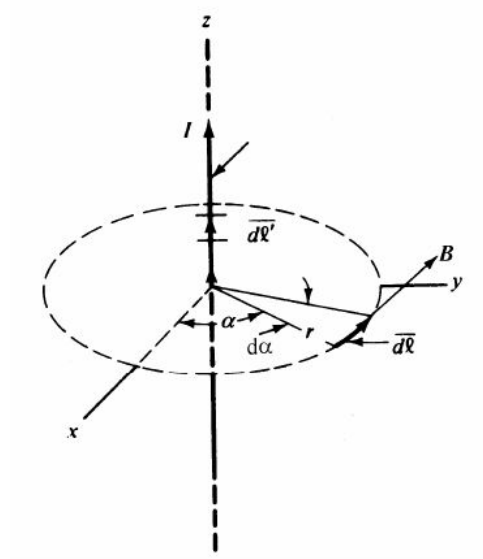
Magnetsko polje ravne duge strujnice



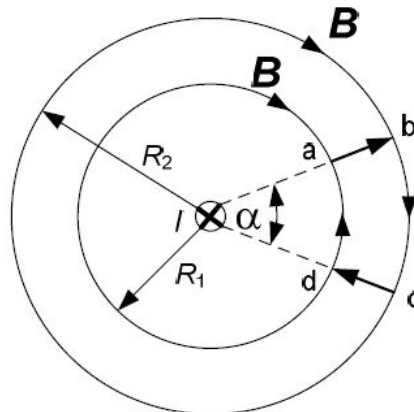
$$B = a_\alpha \frac{\mu_0 I}{2\pi r}$$

$a_{(\text{alfa})}$ - jedinичni tangencijalni vektor u cilindričnom koordinatnom sustavu

AMPÈREOV ZAKON KRUŽNOG PROTJECANJA



a)



b)

$$B = a_\alpha \frac{\mu_0 I}{2\pi r} = \text{konst.}$$

$$d\vec{l} = a_\alpha r d\alpha$$

$$\oint_c \vec{B} \cdot d\vec{l} = \oint_c a_\alpha \frac{\mu_0 I}{2\pi r} a_\alpha r d\alpha = \frac{\mu_0 I}{2\pi} \oint_c d\alpha = \frac{\mu_0 I}{2\pi} 2\pi = \mu_0 I$$

izracunavanje za krivulju a-b-c-d pokraj ravne, beskonacno duge strujnice
prema slici 21.1.b)

$$\begin{aligned} \oint_c \vec{B} \cdot d\vec{l} &= \int_{r=R_1}^{R_2} a_\alpha \frac{\mu_0 I}{2\pi r} a_r dr + \int_b^c a_\alpha \frac{\mu_0 I}{2\pi R_2} a_\alpha R_2 d\alpha - \int_{r=R_1}^{R_2} a_\alpha \frac{\mu_0 I}{2\pi r} a_r dr - \int_d^a a_\alpha \frac{\mu_0 I}{2\pi R_1} a_\alpha R_1 d\alpha \\ \oint_c \vec{B} \cdot d\vec{l} &= 0 + \frac{\mu_0 I}{2\pi} \int_b^c d\alpha - 0 - \frac{\mu_0 I}{2\pi} \int_d^a d\alpha = \frac{\mu_0 I}{2\pi} \alpha - \frac{\mu_0 I}{2\pi} \alpha = 0 \end{aligned}$$

Diferencijalni oblik Ampèreovog zakona

$$\oint_c \vec{A} \cdot d\vec{l} = \int_S (\nabla \times \vec{A}) \cdot \vec{n} \cdot dS \quad \oint_c \vec{B} \cdot d\vec{l} = \int_S (\nabla \times \vec{B}) \cdot \vec{n} \cdot dS = \mu_0 \int_S \vec{J}_s \cdot \vec{n} \cdot dS$$

$$\nabla \times \vec{B} = \text{rot } \vec{B} = \mu_0 \vec{J}_s$$

U pravocrtnom koordinatnom sustavu (x, y, z) rotacija vektora \mathbf{B} je:

$$\nabla \times \mathbf{B} = \begin{vmatrix} \mathbf{a}_x & \mathbf{a}_y & \mathbf{a}_z \\ \frac{\partial}{\partial x} & \frac{\partial}{\partial y} & \frac{\partial}{\partial z} \\ B_x & B_y & B_z \end{vmatrix} = \mathbf{a}_x \left(\frac{\partial B_z}{\partial y} - \frac{\partial B_y}{\partial z} \right) + \mathbf{a}_y \left(\frac{\partial B_x}{\partial z} - \frac{\partial B_z}{\partial x} \right) + \mathbf{a}_z \left(\frac{\partial B_y}{\partial x} - \frac{\partial B_x}{\partial y} \right) = \mu_0 \mathbf{J}_s$$

U cilindričnom koordinatnom sustavu (r, α, z) rotacija vektora \mathbf{B} je:

$$\nabla \times \mathbf{B} = \mathbf{a}_r \left(\frac{1}{r} \frac{\partial B_z}{\partial \alpha} - \frac{\partial B_\alpha}{\partial z} \right) + \mathbf{a}_\alpha \left(\frac{\partial B_r}{\partial z} - \frac{\partial B_z}{\partial r} \right) + \mathbf{a}_z \frac{1}{r} \left[\frac{\partial}{\partial r} (r B_\alpha) - \frac{\partial B_r}{\partial \alpha} \right] = \mu_0 \mathbf{J}_s$$

U sfernom koordinatnom sustavu (r, ϑ, α) rotacija vektora \mathbf{B} je:

$$\nabla \times \mathbf{B} = \mathbf{a}_r \frac{1}{r \sin \vartheta} \left[\frac{\partial}{\partial \vartheta} (\sin \vartheta \cdot B_\alpha) - \frac{\partial B_\vartheta}{\partial \alpha} \right] + \mathbf{a}_\vartheta \frac{1}{r} \left[\frac{1}{\sin \vartheta} \frac{\partial B_r}{\partial \alpha} - \frac{\partial}{\partial r} (r \cdot B_\alpha) \right] + \mathbf{a}_\alpha \frac{1}{r} \left[\frac{\partial}{\partial r} (r \cdot B_\vartheta) - \frac{\partial B_r}{\partial \vartheta} \right] = \mu_0 \mathbf{J}_s$$

MATERIJALI U MAGNETSKOM POLJU

$\mathbf{m} = \mathbf{n} \cdot \mathbf{i} \cdot S$ --> normala \mathbf{n} određena pravilom desne ruke

Utjecaj magnetizacije na magnetsko polje

Ukupna magnetska indukcija u materijalu je: $\mathbf{B} = \mathbf{B}_0 + \mathbf{B}_M$

Indukcija \mathbf{B}_0 stvorena vanjskom strujom kroz zavojnicu je: $\mathbf{B}_0 = \mathbf{B} - \mathbf{B}_M$

$$\oint_c \mathbf{B}_0 \cdot d\mathbf{l} = \mu_0 \int_S \mathbf{J}_s \cdot \mathbf{n} \cdot dS \quad ; \quad \oint_c (\mathbf{B} - \mathbf{B}_M) \cdot d\mathbf{l} = \mu_0 \int_S \mathbf{J}_s \cdot \mathbf{n} \cdot dS$$

$$\oint_c \left(\frac{\mathbf{B} - \mathbf{B}_M}{\mu_0} \right) \cdot d\mathbf{l} = \int_S \mathbf{J}_s \cdot \mathbf{n} \cdot dS$$

$$\mathbf{H} = \frac{\mathbf{B}_0}{\mu_0} = \frac{\mathbf{B} - \mathbf{B}_M}{\mu_0} = \frac{\mathbf{B}}{\mu_0} - \mathbf{M} \quad ; \quad \mathbf{M} = \frac{\mathbf{B}_M}{\mu_0}$$

$$\oint_c \mathbf{H} \cdot d\mathbf{l} = \int_S \mathbf{J}_s \cdot \mathbf{n} \cdot dS$$

Ukupna magnetska indukcija u materijalu je onda $\mathbf{B} = \mathbf{B}_0 + \mathbf{B}_M$; $\mathbf{B} = \mu_0 \mathbf{H} + \mu_0 \mathbf{M}$

$\mathbf{M} = \chi_m \cdot \mathbf{H}$ --> χ_m - magnetska susceptibilnost, \mathbf{M} - vektor gustoće magnetiziranja

$\mu_r = 1 + \chi_m$

$$d\mathbf{B} = \frac{\mu \cdot I}{4\pi} \frac{d\mathbf{l} \times \mathbf{R}}{R^3} \quad ; \quad d\mathbf{H} = \frac{I}{4\pi} \frac{d\mathbf{l} \times \mathbf{R}}{R^3}$$

$$\oint_c \mathbf{B} \cdot d\mathbf{l} = \mu \int_S \mathbf{J}_s \cdot \mathbf{n} \cdot dS \quad ; \quad \oint_c \mathbf{H} \cdot d\mathbf{l} = \int_S \mathbf{J}_s \cdot \mathbf{n} \cdot dS$$

$$\nabla \times \mathbf{B} = \text{rot } \mathbf{B} = \mu \mathbf{J}_s \quad ; \quad \nabla \times \mathbf{H} = \text{rot } \mathbf{H} = \mathbf{J}_s$$

Tablica 22.1. Krivulja magnetiziranja i permeabilnost željeza

H (A/m)	B (T)	$\mu \times 10^7$ (H/m)	μ_r	M (A/m)	B_M (T)
0	0	3 100	247	0	0
10	0,0042	4 200	334	3 332	0,00419
20	0,01	5 000	398	7 938	0,00997
50	0,043	8 600	684	34 168	0,0429
100	0,67	67 000	5 332	533 069	0,6699
150	1,01	67 333	5 358	803 582	1,0098
200	1,18	59 000	4 695	938 814	1,1797
500	1,44	28 800	2 292	1 145 416	1,4394
1 000	1,58	15 800	1 257	1 256 324	1,5787
10 000	1,72	1 720	137	1 358 732	1,707
100 000	2,26	226	18	1 698 451	2,134
800 000	3,15	39	3,1	1 796 690	2,145

Ako se magnetski materijal magnetizira jednako u svim smjerovima, takav materijal se naziva *izotropnim* i u njemu su vektor jakosti magnetskog polja \mathbf{H} i vektor magnetizacije \mathbf{M} u istome smjeru, tj. magnetska susceptibilnost χ_m je u svim smjerovima konstanta. U izotropnom materijalu vrijedi

$$M_x = \chi_m \cdot H_x \quad ; \quad M_y = \chi_m \cdot H_y \quad ; \quad M_z = \chi_m \cdot H_z$$

$$B_x = \mu \cdot H_x \quad ; \quad B_y = \mu \cdot H_y \quad ; \quad B_z = \mu \cdot H_z$$

Za materijal koji nije izotropan (*anizotropan*), vektor jakosti magnetskog polja \mathbf{H} i vektor magnetizacije \mathbf{M} nisu u istome smjeru. U takvim materijalima magnetska susceptibilnost χ_m je različita u različitim smjerovima, pa vrijedi

$$M_x = \chi_{m11} \cdot H_x + \chi_{m12} \cdot H_y + \chi_{m13} \cdot H_z$$

$$M_y = \chi_{m21} \cdot H_x + \chi_{m22} \cdot H_y + \chi_{m23} \cdot H_z$$

$$M_z = \chi_{m31} \cdot H_x + \chi_{m32} \cdot H_y + \chi_{m33} \cdot H_z$$

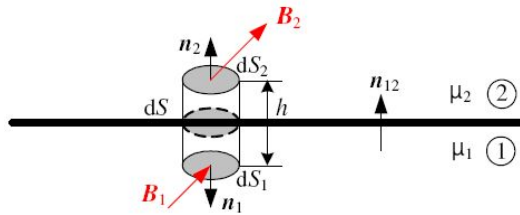
Vektori magnetske indukcije po smjerovima su

$$B_x = \mu_{11} \cdot H_x + \mu_{12} \cdot H_y + \mu_{13} \cdot H_z$$

$$B_y = \mu_{21} \cdot H_x + \mu_{22} \cdot H_y + \mu_{23} \cdot H_z$$

$$B_z = \mu_{31} \cdot H_x + \mu_{32} \cdot H_y + \mu_{33} \cdot H_z$$

UVJETI NA GRANICI



$$\oint_S \mathbf{B} \cdot \mathbf{n} \cdot d\mathbf{S} = 0$$

$$\mathbf{B}_1 \cdot \mathbf{n}_1 \cdot d\mathbf{S}_1 + \mathbf{B}_2 \cdot \mathbf{n}_2 \cdot d\mathbf{S}_2 + (\text{doprinos toku kroz plašt}) = 0$$

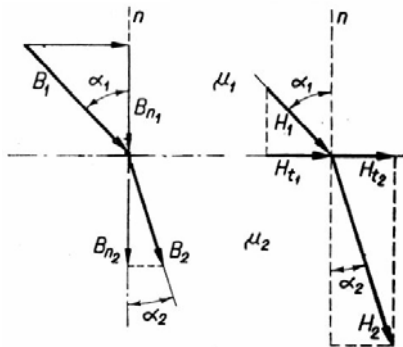
$$n_{12} (\mathbf{B}_2 - \mathbf{B}_1) = 0$$

$$B_{1n} = B_{2n}$$

$$\mu_1 H_{1n} = \mu_2 H_{2n} \Rightarrow \frac{H_{1n}}{H_{2n}} = \frac{\mu_2}{\mu_1}$$

$$n_{12} \times (\mathbf{H}_2 - \mathbf{H}_1) = \mathbf{K}_s$$

$$H_{1t} = H_{2t} \Rightarrow \frac{B_{1t}}{\mu_1} = \frac{B_{2t}}{\mu_2} \Rightarrow \frac{B_{1t}}{B_{2t}} = \frac{\mu_1}{\mu_2}$$



$$\tan \alpha_1 = \frac{H_{1t}}{H_{1n}} ; \quad \tan \alpha_2 = \frac{H_{2t}}{H_{2n}}$$

$$\frac{\tan \alpha_1}{\tan \alpha_2} = \frac{\frac{H_{1t}}{H_{1n}}}{\frac{H_{2t}}{H_{2n}}} = \frac{H_{1t} \cdot H_{2n}}{H_{2t} \cdot H_{1n}} = \frac{\mu_1}{\mu_2}$$

Uvjeti na granici feromagnetski materijal – zrak

Ako magnetsko polje izlazi iz feromagnetskog materijala (sredstvo „1“ s $\mu_1 \gg \mu_0$) u zrak (sredstvo „2“ s $\mu_2 = \mu_0$), tada je

$$\tan \alpha_2 = \tan \alpha_1 \frac{\mu_2}{\mu_1} \approx 0 \Rightarrow \alpha_2 \approx 0$$

Ako magnetsko polje ulazi iz zraka (sredstvo „1“ s $\mu_1 = \mu_0$) u feromagnetski materijal (sredstvo „2“ s $\mu_2 \gg \mu_0$) u tada je

$$\tan \alpha_2 = \tan \alpha_1 \frac{\mu_2}{\mu_1} \gg 1 \Rightarrow \alpha_2 \approx 90^\circ$$

MAGNETSKI KRUGOVI

Ako sav magnetski tok u magnetskom krugu prolazi kroz krug, tada će na bilo kojem presjeku S , na kojem je normala \mathbf{n} , magnetski tok biti

$$\phi = \int_S \mathbf{B} \cdot \mathbf{n} \cdot d\mathbf{S} \quad I = \int_S \mathbf{J} \cdot \mathbf{n} \cdot d\mathbf{S}$$

$$\oint_c \mathbf{H} \cdot d\mathbf{l} = NI$$

$$\oint \mathbf{E} \cdot d\mathbf{l} = U$$

Omjer magnetske pobude i magnetskog toka naziva se *magnetski otpor* ili *reluktancija*

$$R_m = \frac{\Theta}{\phi} = \frac{\oint \mathbf{H} \cdot d\mathbf{l}}{\int_S \mathbf{B} \cdot \mathbf{n} \cdot dS} = \frac{\oint \mathbf{H} \cdot d\mathbf{l}}{\int_S \mu \mathbf{H} \cdot \mathbf{n} \cdot dS}$$

Tablica 24.1. Analogije jednačbi i veličina magnetskog i električnog kruga

Magnetski krug	Električni krug
Magnetski tok (vektora \mathbf{B}): $\phi_m = \int_S \mathbf{B} \cdot \mathbf{n} \cdot dS$	Strujni tok (vektora \mathbf{J}): $I = \int_S \mathbf{J} \cdot \mathbf{n} \cdot dS$
Magnetska indukcija \mathbf{B} : $\mathbf{B} = \mu \mathbf{H}$	Gustoća struje \mathbf{J} : $\mathbf{J} = \kappa \mathbf{E}$
Jakost magnetskog polja \mathbf{H}	Jakost električnog polja \mathbf{E}
Magnetska permeabilnost μ	Električna provodnost κ
Magnetska pobuda: $NI = \oint_c \mathbf{H} \cdot d\mathbf{l}$	Napon: $U = \oint_c \mathbf{E} \cdot d\mathbf{l}$
Magnetski otpor: $R_m = \frac{\Theta}{\phi} = \frac{\oint_c \mathbf{H} \cdot d\mathbf{l}}{\int_S \mathbf{B} \cdot \mathbf{n} \cdot dS} = \frac{\oint_c \mathbf{H} \cdot d\mathbf{l}}{\int_S \mu \mathbf{H} \cdot \mathbf{n} \cdot dS}$	Električni otpor: $R = \frac{U}{I} = \frac{\oint_c \mathbf{E} \cdot d\mathbf{l}}{\int_S \mathbf{J} \cdot \mathbf{n} \cdot dS} = \frac{\oint_c \mathbf{E} \cdot d\mathbf{l}}{\int_S \kappa \mathbf{E} \cdot \mathbf{n} \cdot dS}$
Magnetska vodljivost: $\Lambda = \frac{\phi}{\Theta} = \frac{1}{R_m} = \frac{\int_S \mathbf{B} \cdot \mathbf{n} \cdot dS}{\oint_c \mathbf{H} \cdot d\mathbf{l}}$	Električna vodljivost: $G = \frac{I}{U} = \frac{1}{R} = \frac{\int_S \mathbf{J} \cdot \mathbf{n} \cdot dS}{\oint_c \mathbf{E} \cdot d\mathbf{l}}$

Rješavanje magnetskih krugova

$$\phi = B_{sr} S_{sr}$$

$$H_{sr} \cdot l_{sr} = NI = \Theta$$

$$R_m = \frac{\Theta}{\phi} = \frac{H_{sr} \cdot l_{sr}}{B_{sr} \cdot S_{sr}} = \frac{1}{\mu} \frac{l_{sr}}{S_{sr}}$$

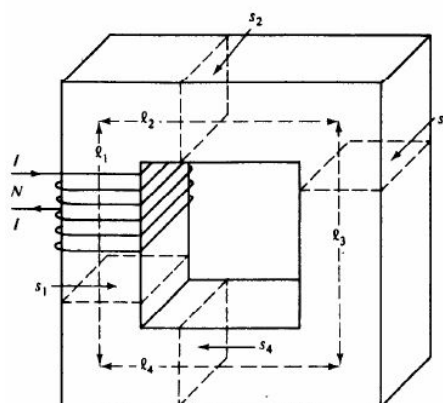
Serijski magnetski krug

$$\phi = B_1 S_1 = B_2 S_2 = B_3 S_3 = B_4 S_4$$

$$H_1 \cdot l_1 + H_2 \cdot l_2 + H_3 \cdot l_3 + H_4 \cdot l_4 = NI = \Theta$$

$$R_m = R_{m1} + R_{m2} + R_{m3} + R_{m4}$$

$$\Theta = U_{m1} + U_{m2} + U_{m3} + U_{m4}$$



Paralelni magnetski krug

$$\phi = B_3 S_3$$

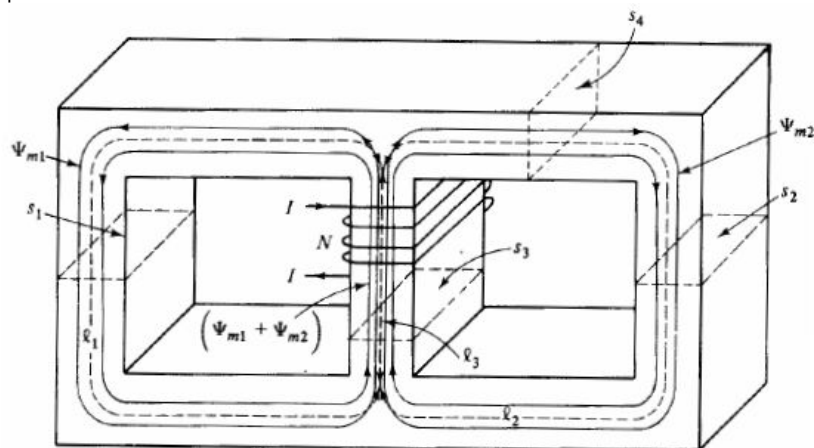
$$\phi = \phi_1 + \phi_2$$

$$H_1 \cdot l_1 + H_3 \cdot l_3 = NI = \Theta ; H_2 \cdot l_2 + H_3 \cdot l_3 = NI = \Theta$$

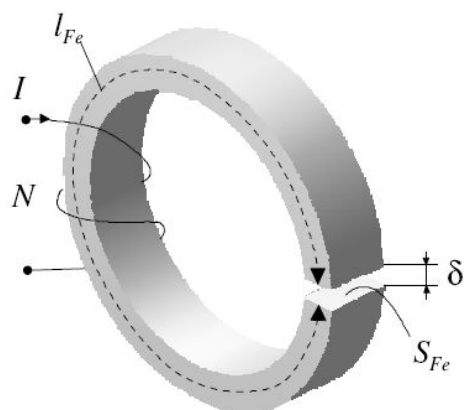
$$\phi_1 = \frac{U_{m1}}{R_{m1}} ; \quad \phi_2 = \frac{U_{m2}}{R_{m2}} ; \quad \frac{\phi_1}{\phi_2} = \frac{R_{m2}}{R_{m1}}$$

$$U_{m1} = H_1 \cdot l_1 = U_{m2} = H_2 \cdot l_2 \Rightarrow H_2 = \frac{H_1 \cdot l_1}{l_2}$$

$$\phi_2 = B_2 S_2$$



Magnetski krug sa zracnim rasporom



$$\phi_{Fe} = \phi_{\delta} ; B_{Fe} \cdot S_{Fe} = B_{\delta} \cdot S_{\delta} \Rightarrow B_{Fe} = B_{\delta}$$

$$H_{\delta} = \frac{B_{\delta}}{\mu_0} ; \quad H_{Fe} = \frac{B_{Fe}}{\mu_0 \cdot \mu_r} = \frac{H_{\delta}}{\mu_r}$$

$$H_{Fe} \cdot l_{Fe} + H_{\delta} \cdot \delta = NI = \Theta$$

$$H_{Fe} \cdot l_{Fe} + \frac{B_{Fe}}{\mu_0} \cdot \delta = NI$$

$$B_{Fe} = \frac{\mu_0}{\delta} (NI - H_{Fe} \cdot l_{Fe})$$

VEKTORSKI MAGNETSKI POTENCIJAL

U pravocrtnom koordinatnom sustavu (x, y, z) magnetska indukcija \mathbf{B} izražena preko rotacije vektorskog magnetskog potencijala \mathbf{A} je:

$$\mathbf{B} = \text{rot } \mathbf{A} = a_x \left(\frac{\partial A_z}{\partial y} - \frac{\partial A_y}{\partial z} \right) + a_y \left(\frac{\partial A_x}{\partial z} - \frac{\partial A_z}{\partial x} \right) + a_z \left(\frac{\partial A_y}{\partial x} - \frac{\partial A_x}{\partial y} \right) \quad (25.2)$$

U cilindričnom koordinatnom sustavu (r, α, z) magnetska indukcija \mathbf{B} izražena preko rotacije vektorskog magnetskog potencijala \mathbf{A} je:

$$\mathbf{B} = \text{rot } \mathbf{A} = a_r \left(\frac{1}{r} \frac{\partial A_z}{\partial \alpha} - \frac{\partial A_\alpha}{\partial z} \right) + a_\alpha \left(\frac{\partial A_r}{\partial z} - \frac{\partial A_z}{\partial r} \right) + a_z \frac{1}{r} \left[\frac{\partial}{\partial r} (r \cdot A_\alpha) - \frac{\partial A_r}{\partial \alpha} \right] \quad (25.3)$$

U sfernom koordinatnom sustavu (r, ϑ, α) magnetska indukcija \mathbf{B} izražena preko rotacije vektorskog magnetskog potencijala \mathbf{A} je:

$$\begin{aligned} \mathbf{B} = \text{rot } \mathbf{A} = & a_r \frac{1}{r \sin \vartheta} \left[\frac{\partial}{\partial \vartheta} (\sin \vartheta \cdot A_\alpha) - \frac{\partial A_\vartheta}{\partial \alpha} \right] + a_\vartheta \frac{1}{r} \left[\frac{1}{\sin \vartheta} \frac{\partial A_r}{\partial \alpha} - \frac{\partial}{\partial r} (r \cdot A_\alpha) \right] + \\ & + a_\alpha \frac{1}{r} \left[\frac{\partial}{\partial r} (r \cdot A_\vartheta) - \frac{\partial A_r}{\partial \vartheta} \right] \end{aligned} \quad (25.4)$$

Magnetski tok kroz površinu S , na kojem je normala \mathbf{n} prema (18.1) je:

$$\phi = \int_S \mathbf{B} \cdot \mathbf{n} \cdot dS$$

Ako umjesto magnetske indukcije \mathbf{B} uvrstimo (25.1) i primijenimo Stokesov teorem:

$$\int_S \text{rot } \mathbf{F} \cdot \mathbf{n} \cdot dS = \oint_c \mathbf{F} \cdot d\mathbf{l}$$

gdje je c kontura koja obrubljuje površinu S , a $d\mathbf{l}$ je element konture, dobije se:

$$\phi = \int_S \mathbf{B} \cdot \mathbf{n} \cdot dS = \int_S \text{rot } \mathbf{A} \cdot \mathbf{n} \cdot dS = \oint_c \mathbf{A} \cdot d\mathbf{l}$$

U pravocrtnom koordinatnom sustavu (x, y, z) Poissonova jednadžba (25.9) je:

$$\Delta A = a_x \Delta A_x + a_y \Delta A_y + a_z \Delta A_z = -\mu \cdot J_s \quad (25)$$

U cilindričnom koordinatnom sustavu (r, α, z) Poissonova jednadžba (25.9) je:

$$\Delta A = a_r \left[\Delta A_r - \frac{1}{r^2} \left(A_r + 2 \frac{\partial A_\alpha}{\partial \alpha} \right) \right] + a_\alpha \left[\Delta A_\alpha - \frac{1}{r^2} \left(A_\alpha - 2 \frac{\partial A_r}{\partial \alpha} \right) \right] + a_z \Delta A_z = -\mu \cdot J_s \quad (25)$$

U sfernom koordinatnom sustavu (r, ϑ, α) Poissonova jednadžba (25.9) je:

$$\begin{aligned} \Delta A = & a_r \left[\Delta A_r - \frac{2}{r^2} \left(A_r + \operatorname{ctg} \vartheta \cdot A_\vartheta + \frac{1}{\sin \vartheta} \frac{\partial A_\alpha}{\partial \alpha} + \frac{\partial A_\vartheta}{\partial \vartheta} \right) \right] + \\ & + a_\vartheta \left[\Delta A_\vartheta - \frac{1}{r^2} \left(\frac{1}{\sin^2 \vartheta} A_\vartheta - 2 \frac{\partial A_r}{\partial \vartheta} + \frac{2 \cos \vartheta}{\sin^2 \vartheta} \frac{\partial A_\alpha}{\partial \alpha} \right) \right] + \\ & + a_\alpha \left[\Delta A_\alpha - \frac{1}{r^2} \left(\frac{1}{\sin^2 \vartheta} A_\alpha - \frac{2}{\sin \vartheta} \frac{\partial A_r}{\partial \alpha} - \frac{2 \cos \vartheta}{\sin^2 \vartheta} \frac{\partial A_\vartheta}{\partial \alpha} \right) \right] = -\mu \cdot J_s \end{aligned} \quad (25)$$

Poissonova jednadžba za vektorski magnetski potencijal u pravocrtnom koordinatnom sustavu (25.11) svodi se na tri skalarne diferencijalne jednadžbe po komponentama (x, y, z) :

$$\Delta A_x = -\mu i \cdot J_x; \Delta A_y = -\mu i \cdot J_y; \Delta A_z = -\mu i \cdot J_z$$

Jednadžbe vektorskog magnetskog potencijala u točki promatranja \mathbf{r} s

$$A(\mathbf{r}) = \frac{\mu}{4\pi} \int_V \frac{\mathbf{J}(\mathbf{r}') \cdot d\mathbf{V}}{|\mathbf{r} - \mathbf{r}'|} \quad A(\mathbf{r}) = \frac{\mu}{4\pi} \int_S \frac{\mathbf{K}(\mathbf{r}') \cdot d\mathbf{S}}{|\mathbf{r} - \mathbf{r}'|} \quad A(\mathbf{r}) = \frac{\mu \cdot I}{4\pi} \int_l \frac{d\mathbf{l}}{|\mathbf{r} - \mathbf{r}'|}$$

INDUKTIVITET

$$L = \frac{\phi}{I} \qquad \psi = N \cdot \phi \qquad L = \frac{\psi}{I} = \frac{N \cdot \phi}{I}$$

$$L = \frac{\psi}{I} = \frac{N \cdot \phi}{I} = \frac{N \cdot N \cdot \phi_1}{I} = N^2 \frac{\phi_1}{I} = N^2 \cdot L_1$$

Međuninduktivitet

Omjer magnetskog toka obuhvaćenog krugom „2“ i struje I_1 strujnog kruga „1“ koja je proizvela taj magnetski tok naziva se *koeficijent međuindukcije* ili *međuninduktivitet* M_{21} između krugova „1“ i „2“

$$M_{21} = \frac{\phi_{21}}{I_1}$$

Ako je petlja strujnog kruga „1“ načinjena s N_1 zavoja tada će njezin ukupni magnetski tok ϕ_{1u} kao i dio tog toka koji prolazi kroz petlju „2“ biti N_1 puta veći

$$\phi_{1u} = N_1 \cdot \phi_1 \quad ; \quad \phi_{21u} = N_1 \cdot \phi_{21} = k_1 \cdot N_1 \cdot \phi_1 = k_1 \cdot \phi_{1u}$$

Ako je petlja strujnog kruga „2“ načinjena s N_2 zavoja tada će ukupni magnetski tok kojeg ona obuhvata ϕ_{21u} biti N_2 puta veći:

$$\psi_{21u} = N_2 \cdot \phi_{21u} = N_2 \cdot N_1 \cdot \phi_{21} \qquad M_{21} = \frac{\psi_{21u}}{I_1} = \frac{N_2 \cdot N_1 \cdot \phi_{21}}{I_1}$$

Analogno, vrijedi za međuninduktivitet između krugova „2“ i „1“

$$M_{12} = \frac{\psi_{12u}}{I_2} = \frac{N_1 \cdot N_2 \cdot \phi_{12}}{I_2} = \frac{N_1 \cdot N_2 \cdot k_2 \cdot \phi_2}{I_2} = N_1 \cdot k_2 \frac{N_2 \cdot \phi_2}{I_2} = k_2 \cdot N_1 \frac{L_2}{N_2}$$

$$M_{21} = \frac{\psi_{21u}}{I_1} = \frac{N_2 \cdot N_1 \cdot \phi_{21}}{I_1} = \frac{N_2 \cdot N_1 \cdot k_1 \cdot \phi_1}{I_1} = N_2 \cdot k_1 \frac{N_1 \cdot \phi_1}{I_1} = k_1 \cdot N_2 \frac{L_1}{N_1}$$

Koeficijent k naziva se *koeficijent magnetske sprege* i uvijek je ≤ 1 .

$$M = k \sqrt{L_1 L_2} \leq \sqrt{L_1 L_2}$$

Ako magnetsko polje stvara strujnica „1“ konture l_1 , protjecana strujom I_1 , njezin vektorski magnetski potencijal je

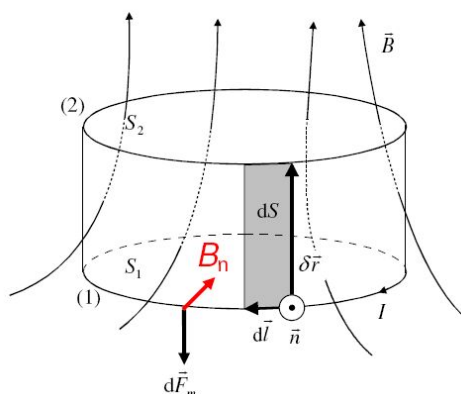
$$A_1(\mathbf{r}) = \frac{\mu \cdot I_1}{4\pi} \oint_{l_1} \frac{d\mathbf{l}_1}{|\mathbf{r} - \mathbf{r}'|}$$

Obuhvaćeni magnetski tok strujnicom „2“ konture l_2

$$\psi_{21} = \oint_{l_2} \mathbf{A}_1 \cdot d\mathbf{l}_2 = \frac{\mu \cdot I_1}{4\pi} \oint_{l_2} \oint_{l_1} \frac{d\mathbf{l}_1 \cdot d\mathbf{l}_2}{|\mathbf{r} - \mathbf{r}'|} \qquad M_{21} = M = \frac{\psi_{21}}{I_1} = \frac{\mu}{4\pi} \oint_{l_2} \oint_{l_1} \frac{d\mathbf{l}_1 \cdot d\mathbf{l}_2}{|\mathbf{r} - \mathbf{r}'|}$$

međuninduktivitet dvaju međusobno okomitih dijelova strujnica, zbog $d\mathbf{l}_1 \cdot d\mathbf{l}_2 = 0$, jednak nuli

ENERGIJA STATICKOG MAGNETSKOG POLJA



Na diferencijalni dio strujnice $d\vec{l}$ djeluje magnetska sila

$$d\vec{F}_m = I(d\vec{l} \times \vec{B})$$

Aksijalnu silu, suprotnu od smjera pomaka, stvara komponenta magnetske indukcije B_n okomita na struju. Diferencijalni rad kojeg obavi vanjska sila $d\vec{F}_v$ pri pomaku strujnice za $\delta\vec{r}$ pretvori se u povećanje energije strujnice

$$\delta W = d\vec{F}_v \cdot \delta\vec{r} = -d\vec{F}_m \cdot \delta\vec{r} = -I(d\vec{l} \times \vec{B}) \cdot \delta\vec{r}$$

$$\delta W = -I \cdot \vec{B}(\delta\vec{r} \times d\vec{l}) = -I \cdot \vec{B} \cdot \vec{n} \cdot dS \quad ; \quad \delta\vec{r} \times d\vec{l} = \vec{n} \cdot dS$$

ukupno povećanje energije cijele strujnice pri pomaku iz položaja „1“ u položaj „2“ je

$$dW = I \cdot d\phi_{pl} \quad d\phi_{pl} = \phi_2 - \phi_1 \quad W = I \cdot \phi_2 = I \cdot \phi$$

Magnetska energija sustava strujnica

ukupna energija W potrebna da se formira sustav dviju strujnica

$$W = \frac{1}{2}(\phi_{12} \cdot I_2 + \phi_{21} \cdot I_1)$$

Za skupinu od n strujnica

$$W = \frac{1}{2} \sum_{i=1}^n I_i \cdot \sum_{j=1}^n \phi_{ji} = \frac{1}{2} \sum_{i=1}^n I_i \cdot \phi_i$$

Magnetska energija prostorno raspodijeljene struje

Ako prostorom kroz n vodica teku struje gustoće \vec{J}_i , ukupni obuhvaceni magnetski tok kroz i ti vodic je

$$\phi_i = \sum_{j=1}^n \oint_{l_i} \vec{A}_j \cdot d\vec{l}_i \quad I_i = \int_{S_i} \vec{J}_i \cdot \vec{n}_i \cdot dS_i$$

Ukupna magnetska energija je

$$W = \frac{1}{2} \sum_{i=1}^n I_i \cdot \phi_i = \frac{1}{2} \sum_{i=1}^n \int_{S_i} \vec{J}_i \cdot \vec{n}_i \cdot dS_i \left(\sum_{j=1}^n \oint_{l_i} \vec{A}_j \cdot d\vec{l}_i \right)$$

$$n_i \cdot dl_i = dl_i \quad ; \quad dS_i \cdot dl_i = dV_i$$

$$W = \frac{1}{2} \int_V \mathbf{J} \cdot \mathbf{A} \cdot dV$$

\mathbf{A} - ukupni vektorski magnetski potencijal kojeg na mjestu diferencijalnog volumena dV stvaraju sve struje u prostoru

Magnetska energija prikazana preko velicina polja

$$W = \frac{1}{2} \int_V \mathbf{J} \cdot \mathbf{A} \cdot dV = \frac{1}{2} \int_V \mathbf{B} \cdot \mathbf{H} \cdot dV + \frac{1}{2} \int_V \nabla \cdot (\mathbf{H} \times \mathbf{A}) \cdot dV$$

$$W = \frac{1}{2} \int_V \mathbf{B} \cdot \mathbf{H} \cdot dV + \frac{1}{2} \oint_S (\mathbf{H} \times \mathbf{A}) \cdot \mathbf{n} \cdot dS$$

$$W = \frac{1}{2} \int_V \mathbf{B} \cdot \mathbf{H} \cdot dV$$

volumen V obuhvata cijeli prostor do u beskonacnost

Ako je magnetski materijal linearan, homogen i izotropan, vrijedi $\mathbf{B} = \mu \mathbf{H}$, odnosno $\mathbf{H} = \mathbf{B}/\mu$

$$W = \frac{1}{2} \mu \int_V H^2 dV = \frac{1}{2\mu} \int_V B^2 dV \quad dW = i \cdot d\phi$$

$$d\phi = \oint_S d\mathbf{B} \cdot \mathbf{n} \cdot dS \quad ; \quad i = \oint_l \mathbf{H} \cdot d\mathbf{l} \quad ; \quad \mathbf{n} \cdot d\mathbf{l} = dl \quad ; \quad dS \cdot d\mathbf{l} = dV$$

prirast magnetske energije je:

$$dW = \int_V \mathbf{H} \cdot d\mathbf{B} \cdot dV$$

Ukupna magnetska energija je

$$W = \int_V \left(\int_{B=0}^B \mathbf{H} \cdot d\mathbf{B} \right) dV$$

gustoca energije magnetskog polja

$$w = \int_{B=0}^B \mathbf{H} \cdot d\mathbf{B}$$

Za linearan, homogen i izotropan magnetski materijal ($\mu = \text{konst.}$), gustoca magnetske energije je

$$w = \int_{B=0}^B \mathbf{H} \cdot d\mathbf{B} = \frac{1}{\mu} \int_{B=0}^B B \cdot dB = \frac{1}{2\mu} B^2 = \frac{1}{2} \mu \cdot H^2 \quad (\text{J/m}^3)$$

Ako linearni materijal magnetiziramo tako da povecavamo indukciju od ništice do iznosa B , $dB > 0$, pa je gustoca magnetske energije > 0 , tj. izvor predaje energiju magnetskom polju. Ako linearni materijal onda demagnetiziramo tako da smanjujemo indukciju od iznosa B do ništice, $dB < 0$, pa je gustoca magnetske energije < 0 , tj. magnetsko polje vraća energiju izvoru.

Magnetska energija strujnog kruga

$$\phi = L \cdot I \quad W = \frac{1}{2} I \cdot \phi = \frac{1}{2} L \cdot I^2 = \frac{1}{2L} \phi^2$$

Magnetska energija dva strujna kruga

$$\phi_1 = L_1 I_1 \pm M I_2 \quad ; \quad \phi_2 = L_2 I_2 \pm M I_1$$

prvi članovi predstavljaju magnetske tokove stvorene vlastitim strujama, a drugi članovi magnetske tokove proizvedene strujom drugog strujnog kruga. Predznak „+“ je za tzv. *suglasnu vezu* u kojoj se ti magnetski tokovi podudaraju, a predznak „-“ je za tzv. *nesuglasnu vezu* u kojoj se ti magnetski tokovi ne podudaraju

$$W = \frac{1}{2} I_1 \cdot \phi_1 + \frac{1}{2} I_2 \cdot \phi_2 = \frac{1}{2} I_1 (L_1 I_1 \pm M I_2) + \frac{1}{2} I_2 (L_2 I_2 \pm M I_1)$$

$$W = \frac{1}{2} L_1 \cdot I_1^2 + \frac{1}{2} L_2 \cdot I_2^2 \pm M I_1 I_2$$

$$W = \frac{1}{2} I_1 \cdot \phi_1 + \frac{1}{2} I_2 \cdot \phi_2 = \frac{1}{2} I_1 (\phi_{11} \pm \phi_{12}) + \frac{1}{2} I_2 (\phi_{22} \pm \phi_{21})$$

$$I_1 = \frac{\phi_{11}}{L_1} \quad ; \quad I_1 = \frac{\phi_{21}}{M} \quad ; \quad I_2 = \frac{\phi_{22}}{L_2} \quad ; \quad I_2 = \frac{\phi_{12}}{M}$$

$$W = \frac{1}{2} \frac{\phi_{11}^2}{L_1} \pm \frac{1}{2} \frac{\phi_{21}}{M} \phi_{12} + \frac{1}{2} \frac{\phi_{22}^2}{L_2} \pm \frac{1}{2} \frac{\phi_{12}}{M} \phi_{21}$$

$$W = \frac{1}{2} \frac{\phi_{11}^2}{L_1} + \frac{1}{2} \frac{\phi_{22}^2}{L_2} \pm \frac{\phi_{12} \cdot \phi_{21}}{M}$$

SILA U STATICKOM MAGNETSKOM POLJU

sila na strujnicu duljine l , protjecanu strujom I koja se nalazi u magnetskom polju indukcije \mathbf{B} :

$$\mathbf{F} = \int_l I (d\mathbf{l} \times \mathbf{B})$$

$$i \cdot d\mathbf{l} = \mathbf{J} \cdot d\mathbf{V}$$

$$\mathbf{F} = \int_V (\mathbf{J} \times \mathbf{B}) dV$$

Određivanje sila pomoću energije

silu u smjeru osi s u strujnom krugu induktiviteta L . Za izolirani strujni krug

$$F_s = - \left\{ \frac{\partial W_m}{\partial s} \right\}_{\phi=\text{konst.}} = - \frac{\partial}{\partial s} \left\{ \frac{1}{2} \frac{\phi^2}{L} \right\}_{\phi=\text{konst.}} = - \frac{1}{2} \phi^2 \frac{\partial}{\partial s} \left(\frac{1}{L} \right)$$

Za neizolirani strujni krug

$$F_s = \left\{ \frac{\partial W_m}{\partial s} \right\}_{I=\text{konst.}} = \frac{\partial}{\partial s} \left\{ \frac{1}{2} L I^2 \right\}_{I=\text{konst.}} = \frac{1}{2} I^2 \frac{\partial L}{\partial s}$$

u sustavu dva strujna kruga s međuinduktivitetom M . Za izolirani sustav

$$F_s = - \left\{ \frac{\partial W_m}{\partial s} \right\}_{\phi=\text{konst.}} = - \frac{\partial}{\partial s} \left\{ \pm \frac{\phi_{12} \cdot \phi_{21}}{M} \right\}_{\phi=\text{konst.}} = \mp \phi_{12} \cdot \phi_{21} \frac{\partial}{\partial s} \left(\frac{1}{M} \right)$$

Za neizolirani sustav

$$F_s = \left\{ \frac{\partial W_m}{\partial s} \right\}_{I=\text{konst.}} = \frac{\partial}{\partial s} \{ \pm M I_1 \cdot I_2 \}_{I=\text{konst.}} = \pm I_1 \cdot I_2 \frac{\partial M}{\partial s}$$